

สภาพการรับแรงของคนไม้และคนไม้เสริมป่า



นาย เจริญ ใหม่กวาง

วิทยานิพนธ์นี้เป็นส่วนหนึ่งของการศึกษาตามหลักสูตรปริญญาวิศวกรรมศาสตรมหาบัณฑิต

ภาควิชาวิศวกรรมเครื่องกล

บัณฑิตวิทยาลัย จุฬาลงกรณ์มหาวิทยาลัย

พ.ศ. 2522

000480

LOAD CARRYING CAPACITIES OF WOOD BEAMS
AND WOOD CORE COMPOSITE BEAMS

Mr. Chareon Maidoung

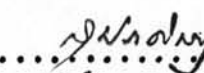
A Thesis Submitted in Partial Fulfillment of the Requirements
for the Degree of Master of Engineering
Department of Mechanical Engineering
Graduate School
Chulalongkorn University

1979

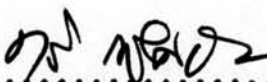
หัวข้อวิทยานิพนธ์ สภาพการรับแรงของคานไม้และคานไม้เสริมผิว

โดย นาย เจริญ ไนมวงศ์
ภาควิชา วิศวกรรมเครื่องกล
อาจารย์ที่ปรึกษา ดร. สุรเกช จันทรานุรักษ์

บัณฑิตวิทยาลัย จุฬาลงกรณ์มหาวิทยาลัย อนุมัติให้นักวิทยานิพนธ์คนนี้ เป็นส่วนหนึ่ง
ของการศึกษาตามหลักสูตรปริญญาด้านนักวิชา

..... คณบดีบัณฑิตวิทยาลัย
(รองศาสตราจารย์ ดร. สุประดิษฐ์ มุนนาค)

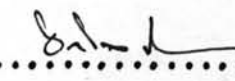
คณะกรรมการสอนวิทยานิพนธ์

..... ประธานกรรมการ
(ผู้ช่วยศาสตราจารย์ ดร. ทวี เลิศปัญญาวิทย์)

..... กรรมการ
(อาจารย์ ดร. สุรเกช จันทรานุรักษ์)

..... กรรมการ
(รองศาสตราจารย์ ดร. วิวัฒน์ อังกาวารณ์)

..... กรรมการ
(ผู้ช่วยศาสตราจารย์ ดร. สุธรรม สุริยะมงคล)

..... กรรมการ
(รองศาสตราจารย์ ดร. อิทธิพล ปานงาม)

ลิขสิทธิ์ของบัณฑิตวิทยาลัย จุฬาลงกรณ์มหาวิทยาลัย

| | |
|------------------|---|
| หัวขอวิทยานิพนธ์ | สภาพการรับแรงของงานไม้และการไม้เสริมปีว |
| ชื่อนิสิต | นาย เจริญ ใหม่ก้วง |
| อาจารย์ที่ปรึกษา | กร. สุรเกช จันทรานุรักษ์ |
| ภาควิชา | วิศวกรรมเครื่องกล |
| ปีการศึกษา | 2522 |



บทคัดย่อ

วิทยานิพนธ์นี้เป็นการศึกษาเกี่ยวกับผลของแรงเนื้อในการโถงของงานไม้และการทดสอบหาค่าโมดูลัสของความยืดหยุ่นและโมดูลัสของแรงเฉือนของไม้ตัวอย่าง 3 ชนิด เพื่อเป็นแนวทางในการคำนวณออกแบบงานไม้ทั่ว ๆ ไป สำหรับงานไม้เสริมปีวค่ายโลหะแผ่น ได้ทำการทดลองหาค่าระยะโถงและความเก็บตัวของงาน เพื่อนำผลไปเปรียบเทียบกับค่าที่ได้จากทฤษฎีซึ่งได้มาจากการวิเคราะห์โดยมีข้อสมมุติฐานค้าง ๆ กัน เช่น การหาค่าความเก็บตัวและระยะโถงโดยไม่คำนึงถึงการแปรรูปเนื่องจากแรงเนื้อในงานและการนำผลของแรงเฉือนมาพิจารณาค่ายเมื่อนำผลของการทดลองมาเปรียบเทียบกับการวิเคราะห์ความทฤษฎี ก็จะ เป็นแนวทางในการเลือกใช้วิธีการคำนวณหาค่าระยะโถงและความเก็บตัวที่เกิดขึ้นในงานได้ใกล้เคียงกับสภาพความเป็นจริงมากยิ่งขึ้น

Thesis Title Load Carrying Capacities of Wood Beams and Wood
Core Composite Beams

Name Chareon Maidoung

Thesis Advisor Suradej Chantranurak Ph D.

Department Mechanical Engineering

Academic Year 1979

ABSTRACT

A method of determining the modulus of elasticity and modulus of rigidity of wood in three different species, from bending test results, is detailed. The procedure is based on the effect of shear deformation in different ratios of span to depth of beams. The criteria of load carrying capacities of wood beams and wood core composite beams are assumed to be deflections and strength in bending. Results have been obtained for clamped beams having a point load at mid span. For beams having this boundary and loading conditions, curves are presented showing the relationships between load and deflection and the relationships between load and strain on aluminum facing.

กิจกรรมประจำ

ผู้เขียนขอขอบพระคุณ ดร. สุรเกช จันทรานุรักษ์ อารยพีริกษา และ ดร. วิธีช์ อิงภารณ์ ที่ได้กรุณาสละเวลา และความรอบรู้ ตลอดจนให้คำแนะนำและ เป็นกำลังใจอย่างยิ่งแก่ผู้เขียน จนทำให้วิทยานิพนธ์ฉบับนี้สมบูรณ์ยิ่งขึ้น

ขอขอบพระคุณกรรมการตรวจวิทยานิพนธ์ทุกท่าน ที่ได้ช่วยแนะนำลิ่งที่เป็นประโยชน์ แก่ผู้เขียน และขอขอบพระคุณมูลนิธิอาจารย์ทุกท่าน ที่ได้มอบรสมั่งสอนแก่ผู้เขียนมาแท็คคัน ขอขอบพระคุณคณาจารย์วิทยาลัยเทคโนโลยีและอาชีวศึกษา วิทยาเขตเทคนิคภาค ใต้สังชลฯ ที่ช่วยผลักดัน และ เป็นกำลังใจให้แก่ผู้เขียน เสนอมา

ขอขอบพระคุณ คุณ เช้า ลิทธิชัย และคุณ ณัณ ลิงห์เจชา ที่กรุณาจัดพิมพ์วิทยานิพนธ์ฉบับนี้เป็นรูปเล่มชั้นมาได้

ท้ายนี้ ผู้เขียนขอขอบพระคุณคณาจารย์ภาควิชากรรมเครื่องกล นัยทิพ วิทยาลัย จุฬาลงกรณ์มหาวิทยาลัย ที่ช่วยในการทำงานนี้สำเร็จลงได้



สารบัญ

หน้า

| | |
|-------------------------|---|
| บทคัดย่อภาษาไทย..... | ๙ |
| บทคัดย่อภาษาอังกฤษ..... | ๑ |
| กิจกรรมประจำ..... | ๑ |
| รายการรูปประกอบ..... | ๗ |
| รายการสัญลักษณ์..... | ๘ |



บทที่

| | |
|---|----|
| 1. บทนำ | 1 |
| 2. ทฤษฎีการโกร่งของคนไม้มและคนไม้เสริมดิว | 11 |
| 3. การทดลองหากลสมบัติของไม้มและสภาพการรับแรงของคน | 35 |
| 4. ผลการทดลอง | 41 |
| 5. สรุปและขอเสนอแนะ | 92 |
| เอกสารอ้างอิง | 95 |
| ภาคผนวก | 98 |

รายการรูปประกอบ

| รูปที่ | | หน้า |
|--------|---|------|
| 2-1 | การกำหนดค่าน้ำหนักปูร่องและแกนอ้างอิงของคานไม้ | 11 |
| 2-2 | รูปร่องหน้าตัดของคานไม้เสริมผิว | 17 |
| 2-3 | รูปร่องของคานสอกไส้ ก่อนและหลังไกรับน้ำหนักบรรทุก | 19 |
| 2-4 | การกำหนดคำแนะนำของแกนสะท้อนของคานสอกไส้ | 26 |
| 2-5 | รูปหน้าตัดของคานสอกไส์ | 28 |
| 2-6 | คานยืนชี้รับน้ำหนักบรรทุกเป็นจุดที่ถูกที่กึ่งกลางคาน | 28 |
| 2-7 | clamped beam ชี้รับน้ำหนักบรรทุกเป็นจุดที่กึ่งกลางคาน | 28 |
| 2-8 | ลักษณะการเกิดรอยบันของผิวประกาย | 30 |
| 4-1 | ความสัมพันธ์ระหว่างน้ำหนักบรรทุกกับระยะโถงของคานไม้ยาง จากการทดสอบแบบ simple supports, center load. ความยาวช่วงคาน 14.8 ซ.ม. ขนาดของคาน $b = 1.8$ ซ.ม. $h = 1.4$ ซ.ม. | 47 |
| 4-2 | ความสัมพันธ์ระหว่างน้ำหนักบรรทุกกับระยะโถงของคานไม้ยาง จากการทดสอบแบบ simple supports, center load. ความยาวช่วงคาน 40.5 ซ.ม. ขนาดของคาน $b = 1.8$ ซ.ม. $h = 1.4$ ซ.ม. | 48 |
| 4-3 | ความสัมพันธ์ระหว่างน้ำหนักบรรทุกกับระยะโถงของคานไม้ ตะเกียงทอง การทดสอบแบบ simple supports, center load. ความยาวช่วงคาน 14.8 ซ.ม. ขนาดของคาน $b = 1.8$ ซ.ม. $h = 1.4$ ซ.ม. | 49 |

| | | |
|-----|---|----|
| 4-4 | ความล้มพื้นที่ระหว่างน้ำหนักบรรทุกกับระบบโครงสร้างของคานไม้ทະ เกียน ห่อง จากการทดสอบแบบ simple supports, center load. ความยาวช่วงคาน 40.5 ซ.ม. ขนาดของคาน $b = 1.8$ ซ.ม. $h = 1.4$ ซ.ม. | 50 |
| 4-5 | ความล้มพื้นที่ระหว่างน้ำหนักบรรทุกกับระบบโครงสร้างของคานไม้ทະ เกียน หิน จากการทดสอบแบบ simple supports, center load. ความยาวช่วงคาน 14.8 ซ.ม. ขนาดของคาน $b = 1.8$ ซ.ม. $h = 1.4$ ซ.ม. | 51 |
| 4-6 | ความล้มพื้นที่ระหว่างน้ำหนักบรรทุกกับระบบโครงสร้างของคานไม้ทະ เกียน หิน จากการทดสอบแบบ simple supports, center load. ความยาวช่วงคาน 40.5 ซ.ม. ขนาดของคาน $b = 1.8$ ซ.ม. $h = 1.4$ ซ.ม. | 52 |
| 4-7 | ความล้มพื้นที่ระหว่างน้ำหนักบรรทุกกับระบบโครงสร้างของคานไม้ยาง จากการทดสอบแบบ both ends fixed, center load. ความยาวช่วงคาน 14.8 ซ.ม. ขนาดของคาน $b = 1.8$ ซ.ม. $h = 1.4$ ซ.ม. | 53 |
| 4-8 | ความล้มพื้นที่ระหว่างน้ำหนักบรรทุกกับระบบโครงสร้างของคานไม้ยาง จากการทดสอบแบบ both ends fixed, center load. ความยาวช่วงคาน 40.5 ซ.ม. ขนาดของคาน $b = 1.8$ ซ.ม. $h = 1.4$ ซ.ม. | 54 |
| 4-9 | ความล้มพื้นที่ระหว่างน้ำหนักบรรทุกกับระบบโครงสร้างของคานไม้ทະ เกียน ห่อง จากการทดสอบแบบ both ends fixed, center load. ความยาวช่วงคาน 40.5 ซ.ม. ขนาดของคาน $b = 1.8$ ซ.ม. $h = 1.4$ ซ.ม. | 55 |

- 4-10 ความล้มพันธ์ระหว่างน้ำหนักบรรทุกับระบบโถงของคานไม้ทะ เคียน
ห่อง จากการทดสอบแบบ both ends fixed, center load.
ความยาวช่วงคาน 40.5 ซ.ม. ขนาดของคาน $b = 1.8$ ซ.ม.
 $h = 1.4$ ซ.ม. 56
- 4-11 ความล้มพันธ์ระหว่างน้ำหนักบรรทุกับระบบโถงของคานไม้ทะ เคียน
หิน จากการทดสอบแบบ both ends fixed, center load.
ความยาวช่วงคาน 14.8 ซ.ม. ขนาดของคาน $b = 1.8$ ซ.ม.
 $h = 1.4$ ซ.ม. 57
- 4-12 ความล้มพันธ์ระหว่างน้ำหนักบรรทุกับระบบโถงของคานไม้ทะ เคียน
หิน จากการทดสอบแบบ both ends fixed, center load.
ความยาวช่วงคาน 40.5 ซ.ม. ขนาดของคาน $b = 1.8$ ซ.ม.
 $h = 1.4$ ซ.ม. 58
- 4-13 ความล้มพันธ์ระหว่างน้ำหนักบรรทุกับระบบโถงของคานไม้ยาง
เสริมผิว จากการทดสอบแบบ both ends fixed, center load.
ความยาวช่วงคาน 14.8 ซ.ม. $h_f/h_c = 0.4$ 59
- 4-14 ความล้มพันธ์ระหว่างน้ำหนักบรรทุกับระบบโถงของคานไม้ยาง
เสริมผิว จากการทดสอบแบบ both ends fixed, center load.
ความยาวช่วงคาน 24.5 ซ.ม. $h_f/h_c = 0.4$ 60
- 4-15 ความล้มพันธ์ระหว่างน้ำหนักบรรทุกับระบบโถงของคานไม้ยาง
เสริมผิว จากการทดสอบแบบ both ends fixed, center load.
ความยาวช่วงคาน 14.8 ซ.ม. $h_f/h_c = 0.2$ 61
- 4-16 ความล้มพันธ์ระหว่างน้ำหนักบรรทุกับระบบโถงของคานไม้ยาง
เสริมผิว จากการทดสอบแบบ both ends fixed, center load.
ความยาวช่วงคาน 24.5 ซ.ม. $h_f/h_c = 0.2$ 62

- 4-17 ความสัมพันธ์ระหว่างน้ำหนักบรรทุกับระบบโครงสร้างของคานไม้ตะเกียง
ห้องเสริมผิว จากการทดสอบแบบ both ends fixed, center load. ความยาวช่วงคาน 14.8 ซ.ม. $h_f/h_c = 0.4$ 63
- 4-18 ความสัมพันธ์ระหว่างน้ำหนักบรรทุกับระบบโครงสร้างของคานไม้ตะเกียง
ห้องเสริมผิว จากการทดลองแบบ both ends fixed, center load. ความยาวช่วงคาน 24.5 ซ.ม. = 0.4 64
- 4-19 ความสัมพันธ์ระหว่างน้ำหนักบรรทุกับระบบโครงสร้างของคานไม้ตะเกียง
ห้องเสริมผิว จากการทดสอบแบบ both ends fixed, center load. ความยาวช่วงคาน 14.8 ซ.ม. $h_f/h_c = 0.2$ 65
- 4-20 ความสัมพันธ์ระหว่างน้ำหนักบรรทุกับระบบโครงสร้างของคานไม้ตะเกียง
ห้องเสริมผิว จากการทดลองแบบ both ends fixed, center load. ความยาวช่วงคาน 24.5 $h_f/h_c = 0.2$ 66
- 4-21 ความสัมพันธ์ระหว่างน้ำหนักบรรทุกับระบบโครงสร้างไม้ตะเกียง
ห้องเสริมผิว จากการทดสอบแบบ both ends fixed, center load. ความยาวช่วงคาน 14.8 ซ.ม. $h_f/h_c = 0.4$ 67
- 4-22 ความสัมพันธ์ระหว่างน้ำหนักบรรทุกับระบบโครงสร้างของคานไม้ตะเกียง
ห้องเสริมผิว จากการทดสอบแบบ both ends fixed, center load. ความยาวช่วงคาน 24.5 ซ.ม. $h_f/h_c = 0.4$ 68
- 4-23 ความสัมพันธ์ระหว่างน้ำหนักบรรทุกับระบบโครงสร้างไม้ตะเกียง
ห้องเสริมผิว จากการทดสอบแบบ both ends fixed, center load. ความยาวช่วงคาน 14.8 ซ.ม. $h_f/h_c = 0.2$ 69
- 4-24 ความสัมพันธ์ระหว่างน้ำหนักบรรทุกับระบบโครงสร้างของคานไม้ตะเกียง
ห้องเสริมผิว จากการทดสอบแบบ both ends fixed, center load. ความยาวช่วงคาน 24.5 ซ.ม. $h_f/h_c = 0.2$ 70

- | | | |
|------|---|------------------------------------|
| 4-25 | ความสัมพันธ์ระหว่างน้ำหนักบรรทุกกับความเครียดบนแผ่นปะรุง ที่จุดกึ่งกลางคาน ของคานไม้ยาง เสริมผิว จากการทดสอบแบบ both ends fixed, center load. ความยาวช่วงคาน | 14.8 ช.ม. $h_f/h_c = 0.4$ 71 |
| 4-26 | ความสัมพันธ์ระหว่างน้ำหนักบรรทุกกับความเครียดบนแผ่นปะรุง ที่จุดกึ่งกลางคาน ของคานไม้ยาง เสริมผิว จากการทดสอบแบบ both ends fixed, center load. ความยาวช่วงคาน | 24.5 ช.ม. $h_f/h_c = 0.4$ 72 |
| 4-27 | ความสัมพันธ์ระหว่างน้ำหนักบรรทุกกับความเครียดบนแผ่นปะรุง ที่จุดกึ่งกลางคาน ของคานไม้ยาง เสริมผิว จากการทดสอบแบบ both ends fixed, center load. ความยาวช่วงคาน | 14.8 ช.ม. $h_f/h_c = 0.2$ 73 |
| 4-28 | ความสัมพันธ์ระหว่างน้ำหนักบรรทุกกับความเครียดบนแผ่นปะรุง ที่จุดกึ่งกลางคาน ของคานไม้ยาง เสริมผิว จากการทดสอบแบบ both ends fixed, center load. ความยาวช่วงคาน | 24.5 ช.ม. $h_f/h_c = 0.2$ 74 |
| 4-29 | ความสัมพันธ์ระหว่างน้ำหนักบรรทุกกับความเครียดบนแผ่นปะรุง ที่จุดกึ่งกลางคาน ของคานไม้ตะเกียงทอง เสริมผิว จากการ ทดสอบแบบ both ends fixed, center load ความยาว ช่วงคาน 14.8 ช.ม. $h_f/h_c = 0.4$ 75 | |
| 4-30 | ความสัมพันธ์ระหว่างน้ำหนักบรรทุกกับความเครียดบนแผ่นปะรุง ที่จุดกึ่งกลางคาน ของคานไม้ตะเกียงทอง เสริมผิว จากการ ทดสอบแบบ both ends fixed, center load. ความยาว ช่วงคาน 24.5 ช.ม. $h_f/h_c = 0.4$ 76 | |

| | | |
|------|--|-----|
| 4-31 | ความสัมพันธ์ระหว่างน้ำหนักบรรทุกกับความเครียดบนแผ่นประแบบที่รุกเข้ากลางคาน ของคานไม้ทะ เคียนหงส์ เสริมผิว จากการทดสอบแบบ both ends fixed, center load. ความยาวช่วงคาน 14.8 ซม. $h_f/h_c = 0.2 \dots \dots \dots$ | 77 |
| 4-32 | ความสัมพันธ์ระหว่างน้ำหนักบรรทุกกับความเครียดบนแผ่นประแบบที่รุกเข้ากลางคาน ของคานไม้ทะ เคียนหงส์ เสริมผิว จากการทดสอบแบบ both ends fixed, center load ความยาวช่วงคาน 24.5 ซม. $h_f/h_c = 0.2 \dots \dots \dots$ | 78 |
| 4-33 | ความสัมพันธ์ระหว่างโมดูลัสของความยืดหยุ่นประลิขผลกับอัตราส่วนความยาวช่วงคานต่อความลึกของคานไม้ยาง..... | 79 |
| 4-34 | ความสัมพันธ์ระหว่างโมดูลัสของความยืดหยุ่นประลิขผลกับอัตราส่วนความยาวช่วงคานต่อความลึกของคานไม้ทะ เคียนหงส์ ... | 80 |
| 4-35 | ความสัมพันธ์ระหว่างโมดูลัสของความยืดหยุ่นประลิขผลกับอัตราส่วนความยาวช่วงคานต่อความลึกของคานไม้ทะ เคียนหิน..... | 81 |
| ก-1 | ความสัมพันธ์ระหว่างความเก็บกับความเครียดของไม้ในทางศักดิ์และทางอัค ลักษณะการกระจายความเก็บในคานไม้ | 99 |
| ก-2 | ลักษณะการกระจายความเก็บในคานไม้ | 99 |
| ก-3 | การปรับแต่งลักษณะการกระจายความเก็บในคานไม้ | 100 |
| ก-4 | วิธีกำหนดแกนสะท้อนของคานไม้ | 101 |
| ช-1 | อัตราส่วนระยะโถงของคานไม้ที่บีบปลายคานแบบ simple supports, center load..... | 103 |
| ช-2 | อัตราส่วนระยะโถงของคานไม้ที่บีบปลายคานแบบ both ends fixed, center load | 104 |
| ช-3 | อัตราส่วนระยะโถงของคานไม้ที่บีบปลายคานแบบ simple supports, uniform load | 105 |
| ช-4 | อัตราส่วนระยะโถงของคานไม้ที่บีบปลายคานแบบ both ends fixed, uniform load | 106 |

| หน้า ที่ | | หน้า |
|-------------|---|------|
| ช-5 | อัตราส่วนระยะโถงของคานไม้เสริมผิวทึ่กปลายคานแบบ simple supports, center load | 107 |
| ช-6 | อัตราส่วนระยะโถงของคานไม้เสริมผิวทึ่กปลายคานแบบ both ends fixed, center load | 108 |
| ช-7 | อัตราส่วนระยะโถงของคานไม้เสริมผิวทึ่กปลายคานแบบ simple supports, uniform load | 109 |
| ช-8 | อัตราส่วนระยะโถงของคานไม้เสริมผิวทึ่กปลายคานแบบ both ends fixed, uniform load | 110 |
| ช-9 | ความสัมพันธ์ระหว่างค่า $\frac{\pi}{\beta}$ กับค่า R | 115 |
| ช-10 | ความสัมพันธ์ระหว่างค่า λ กับค่า R | 115 |

ສញ្ញាណកម្ម



| | |
|-----------|---|
| A | = พื้นที่หน้าตักของงาน |
| A_i | = พื้นที่หน้าตักแต่ละชั้นของงาน เสริมปิว |
| A_e | = พื้นที่หน้าตักประลิพชิบลของงาน เสริมปิว |
| a | = គុរកង់ |
| B_i | = ការម៉ោង កែវ របៀបកែវនៃពីរទំនើបនៃការងារ |
| b | = អ៊ាការវាងការងារ |
| c_i | = គុរកង់ |
| E | = ឯកតិត្សនៃការងារ |
| E_{eff} | = ឯកតិត្សនៃការងារដែលមានភាពសម្រាប់ប្រើប្រាស់ |
| E_i | = ឯកតិត្សនៃការងារដែលមានភាពសម្រាប់ប្រើប្រាស់នៃការងារ |
| F | = ផែនកែវដែលធ្វើឡើងក្នុងការងារ |
| G | = ឯកតិត្សនៃផែនកែវ |
| G_i | = ឯកតិត្សនៃផែនកែវនៃការងារ |
| g | = shear coefficient |
| H | = រាយរាយវាងកែវនៃការងារ |
| h | = ការងារ |
| h_t | = ការងារដែលមានភាពសម្រាប់ប្រើប្រាស់ |
| $2h_i$ | = ការងារដែលមានភាពសម្រាប់ប្រើប្រាស់ |
| I | = moment of inertia |
| I_e | = moment of inertia |
| I_o | = sectorial moment of inertia |
| K_i | = $E_i I_i$ |
| k | = គុរកង់ស្រួល |
| l | = ក្រុងអំពីការងារ |

- L = ความยาวช่วงคาน
 M = โมเมนต์ของน้ำหนักบรรทุก
 m_1 = อัตราส่วนโมดูลัสของความยืดหยุ่นของไม้กับแผ่นประภ
 m_2 = อัตราส่วนโมดูลัสของแรงเฉือนของไม้กับแผ่นประภ
 N = กำลังแห่งแกนสะเทินของคาน
 P = น้ำหนักบรรทุก เป็นจุด
 Q = แรงเฉือนในคาน
 q = น้ำหนักบรรทุกแบบกระจายสม่ำเสมอ
 q_m = แอมปลิจูดของแรงกดบนผิวไม้ เนื่องจากการยันตัวของแผ่นประภ
 S = พลังงานความเครียด เนื่องจากความเห็น เฉือน
 s_1 = ความเห็น เฉือนในแต่ละชั้นของคาน เสริมผิว
 T = พลังงานความเครียด เนื่องจากการยึดและหักตัวตามแนวคาน
 u = ระยะเดือน ในแนวแกน x
 v = พลังงานความเครียด เนื่องจากการบีกตัวของพื้นที่หน้าตัก
 w = งาน เนื่องจากน้ำหนักบรรทุกของคาน
 w = ระยะโถงของคาน
 w = ระยะเดือน ในแนวแกน z
 w_o = ระยะโถงของคาน เมื่อไม่มีคิดลดของแรงเฉือน
 y = ระยะจากแกนสะเทินของคานถึงจุดศูนย์กลางของแผ่นประภ
 z = ระยะในแนวกึ่ง
 α = สัมประสิทธิ์ของระยะเดือนในแนวคาน (สมการที่ 2.5)
 β = aH
 b = ความเห็น
 Y = ความเครียดเฉือน
 E = ความเครียด
 n = อัตราส่วนปัวของ

ρ - ความหนาแน่น

τ - ความเค้นเฉือน

$\phi = \frac{\partial w}{\partial x}$